



ГОСУДАРСТВЕННЫЙ НАУЧНЫЙ ЦЕНТР РОССИЙСКОЙ ФЕДЕРАЦИИ

ИНСТИТУТ ФИЗИКИ ВЫСОКИХ ЭНЕРГИЙ

ИФВЭ 2001-5
ОТФ

Р.Н. Рогалёв

**ВКЛАД ЭЛЕКТРОМАГНИТНЫХ ВЗАИМОДЕЙСТВИЙ
В ПОПЕРЕЧНУЮ ПОЛЯРИЗАЦИЮ МЮОНА
В РАСПАДЕ $K \rightarrow \mu\nu\gamma$**

Направлено в ЯФ

E-mail: rogalyov@mx.ihep.su

Протвино 2001

Аннотация

Рогалёв Р.Н. Вклад электромагнитных взаимодействий в поперечную поляризацию мюона в распаде $K \rightarrow \mu\nu\gamma$: Препринт ИФВЭ 2001-5. – Протвино, 2001. – 11 с., 4 рис., библиогр.: 10.

Представлены результаты расчёта поперечной поляризации мюона в распаде $K \rightarrow \mu\nu\gamma$, обусловленной электромагнитными взаимодействиями в конечном состоянии, в однопетлевом приближении. Абсолютное значение поперечной поляризации мюона не превышает 4.0×10^{-4} , что на порядок меньше величины, полученной в работе [1].

Abstract

Rogalyov R.N. Contribution of Electromagnetic Interactions into the Transverse Polarization of the Muon in the Decay $K \rightarrow \mu\nu\gamma$: IHEP Preprint 2001-5. – Protvino, 2001. – p. 11, figs. 4, refs.: 10.

The transverse polarization of the muon due to the final-state electromagnetic interactions in the decay $K \rightarrow \mu\nu\gamma$ is calculated in the one-loop approximation. An absolute value of the transverse polarization of the muon does not exceed 4.0×10^{-4} , which is an order of magnitude less than the value obtained in [1].

Введение

Вне рамок стандартной модели поперечная поляризация мюона в распаде $K \rightarrow \mu\nu\gamma$ может быть обусловлена как электромагнитными, так и CP - и T -нечётными взаимодействиями:

$$\xi = \xi_{\text{EM}} + \xi_{\text{odd}}, \quad (1)$$

где ξ_{EM} — вклад электромагнитных взаимодействий в поперечную поляризацию мюона, а ξ_{odd} — вклад CP - и T -нечётных взаимодействий. В различных моделях CP -нарушения предсказываются большие значения для поперечной поляризации мюона в распаде $K \rightarrow \mu\nu\gamma$. В лево-правосимметричных моделях $SU(2)_L \times SU(2)_R \times U(1)_{B-L}$ с одним дублетом хиггсовских бозонов Φ и двумя триплетами $\Delta_{L,R} \xi_{\text{odd}} \sim 7 \times 10^{-3}$ [2]. В многохиггсовских моделях предсказывается эффект $\xi_{\text{odd}} \sim 5 \times 10^{-2}$ [3], в суперсимметричных моделях $\xi_{\text{odd}} \sim 10^{-2}$ [4], в моделях скалярных лептокварков $\xi_{\text{odd}} \sim 5 \times 10^{-3}$ [4]. Для того, чтобы извлечь величину ξ_{odd} из экспериментальных данных, необходимо точно знать значение ξ_{EM} . Вычислению этой величины была посвящена работа [1], авторы которой, к сожалению, не учли некоторые диаграммы, дающие вклад в ξ_{EM} .

В данной работе поперечная поляризация мюона в распаде $K \rightarrow \mu\nu\gamma$, обусловленная электромагнитными взаимодействиями в конечном состоянии, вычисляется в однопетлевом приближении в рамках квантовой электродинамики (КЭД) и киральской теории возмущений (КТВ).

Для описания распада $K^+(p) \rightarrow \mu^+(k)\nu(k')\gamma(q)$ будут использоваться следующие переменные: k , k' и q — импульсы мюона, нейтрино и фотона соответственно; $p = k+k'+q$ — импульс каона; $M_K = 494$ МэВ и $m_\mu = 106$ МэВ — массы каона и мюона;

$$x = \frac{2p \cdot q}{M_K^2}; \quad y = \frac{2p \cdot k}{M_K^2}; \quad \lambda = \frac{1-y+\rho}{x}; \quad \rho = \frac{m_\mu^2}{M_K^2}; \quad \gamma = \frac{F_A}{F_V}; \quad \zeta = 1 - \lambda - \tau; \quad (2)$$

$$\tau = (1-\lambda)x + \rho; \quad F_V = \frac{\sqrt{2} M_K}{8\pi^2 F}; \quad F_A = -\frac{4\sqrt{2} M_K (L_9 + L_{10})}{F};$$

$L_9 = 6.9 \pm 0.7 \times 10^{-3}$ и $L_{10} = -5.5 \pm 0.7 \times 10^{-3}$ — параметры лагранжиана КТВ в порядке $O(p^4)$; $F = 93$ МэВ — константа распада π -мезона.

Приведём явный вид интересующих нас членов лагранжиана КТВ [5]:

$$\begin{aligned}
L_{\text{CHPT}}^{K \rightarrow \mu\nu\gamma} = & F G_F V_{us} \partial_\mu K^- l_\mu^+ - e \bar{\mu} \hat{A} \mu + i e A_\mu (\partial_\mu K^+ K^- - \partial_\mu K^- K^+) + i G_F e V_{us}^* F K^- A_\mu l_\mu^+ - (3) \\
& - \frac{G_F e V_{us}^*}{8\pi^2 F} \varepsilon^{\mu\nu\alpha\beta} \partial_\mu K^- \partial_\alpha A_\nu l_\beta^+ + G_F e V_{us}^* \frac{4\sqrt{2}i M_\pi (L_9 + L_{10})}{F} \partial_\mu K^- l_\nu^+ (\partial_\mu A_\nu - \partial_\nu A_\mu) - \\
& - \frac{\alpha}{2\pi F} \varepsilon^{\mu\nu\alpha\beta} \partial_\mu A_\nu \partial_\alpha A_\beta \pi^0 + \frac{i G_F}{2} V_{us}^* l_\mu^- (K^+ \partial_\mu \pi^0 - \pi^0 \partial_\mu K^+) + \\
& + \frac{G_F e V_{us}^*}{2\sqrt{2}} F_T (\partial_\mu A_\nu - \partial_\nu A_\mu) K^+ \bar{\nu} \sigma^{\mu\nu} (1 + \gamma^5) \mu + \text{h.c.},
\end{aligned}$$

$G_F = 1.17 \times 10^{-5}$ ГэВ $^{-2}$ — константа Ферми; $\alpha = e^2/(4\pi) = 7.3 \times 10^{-3}$ — постоянная тонкой структуры, e — заряд электрона; $V_{us} = 0.22$ — элемент матрицы Кабибо–Кобаяши–Маскава; K^\pm, π^0, A, ν и μ — поля K^\pm -мезонов, π^0 -мезона, фотона, антинейтрино и мюона, соответственно; $l_\mu^+ = \bar{\mu} \gamma_\mu (1 - \gamma^5) \nu$.

Структурно-зависимое излучение, обусловленное наличием векторного F_V и аксиально-векторного F_A формфакторов K -мезона, определяется членами во второй строке формулы (3). F_T параметризует гипотетическое тензорное взаимодействие, предложенное в работе [6] для объяснения расхождения теоретического спектра распада $\pi \rightarrow e \nu \gamma$ с экспериментальным; в данной работе мы пренебрегаем тензорным взаимодействием.

1. Поперечная компонента спина и спиральные амплитуды

Спиральные амплитуды для распада $K^+(p) \rightarrow \mu^+(k)\nu(k')\gamma(q)$ определяются формулами

$$\mathcal{M}_{rs} = \langle \mu_s(k)\nu(k')\gamma_r(q) | \mathcal{M} | K(p_K) \rangle, \quad (4)$$

где $r = \pm$ — спиральность фотона; $s = \pm$ — спиральность мюона в СЦМ мюона и нейтрино; а инвариантная амплитуда \mathcal{M} задана соотношением

$$S = 1 - (2\pi)^4 i \delta(k + k' + q - p_K) \mathcal{M},$$

где S — матрица рассеяния в соответствующем канале. Частицы, образовавшиеся в результате распада $K \rightarrow \mu\nu\gamma$, описываются волновой функцией

$$\begin{aligned}
|\Psi\rangle = S|K(q+k+k')\rangle = & \frac{1}{\Gamma} \int d\Phi (\mathcal{M}_{--} |\gamma_-(q)\mu_-(k)\nu(k')\rangle + \mathcal{M}_{-+} |\gamma_-(q)\mu_+(k)\nu(k')\rangle \\
& + \mathcal{M}_{+-} |\gamma_+(q)\mu_-(k)\nu(k')\rangle + \mathcal{M}_{++} |\gamma_+(q)\mu_+(k)\nu(k')\rangle),
\end{aligned} \quad (5)$$

где Γ — ширина распада, а элемент фазового объёма

$$d\Phi = \frac{1}{(2\pi)^5} \delta(k + k' + q - p_K) \frac{d^3 \vec{k}}{2k_0} \frac{d^3 \vec{k}'}{2k'_0} \frac{d^3 \vec{q}}{2q_0}.$$

Действие оператора спина s_μ на фермионных состояниях задаётся формулами

$$s_\mu = \frac{W_\mu}{m} = -\frac{\gamma_\mu \gamma^5}{2} \hat{\varepsilon}_0, \quad (6)$$

где W_μ — вектор Паули-Любаньского, а $\hat{\varepsilon}_0$ — оператор знака энергии. Среднее значение поперечной компоненты спина в состоянии $|\Psi\rangle$ определяется выражением $\langle\Psi|s_\mu \hat{o}_\mu|\Psi\rangle$, где o_μ — единичный вектор, ортогональный q, k и k' :

$$o^\mu = \frac{\omega_+^\mu(k, k') - \omega_-^\mu(k, k')}{i\sqrt{2}}, \quad (7)$$

а векторы $\omega_-^\mu(k, k')$ и $\omega_+^\mu(k, k')$ определены в Приложении. Поскольку¹⁾

$$\begin{aligned} \langle \mu_-(\vec{k}) | s^\nu | \mu_-(\vec{k}) \rangle &= -\frac{1}{4m_\mu} \bar{v}(k, N) \gamma^\nu \gamma^5 v(k, N) = \frac{N^\nu}{2}, \\ \langle \mu_-(\vec{k}) | s^\nu | \mu_+(\vec{k}) \rangle &= -\frac{1}{4m_\mu} \bar{v}(k, -N) \gamma^\nu \gamma^5 v(k, N) = -\frac{\omega_+^\nu}{\sqrt{2}}, \\ \langle \mu_+(\vec{k}) | s^\nu | \mu_-(\vec{k}) \rangle &= -\frac{1}{4m_\mu} \bar{v}(k, N) \gamma^\nu \gamma^5 v(k, -N) = -\frac{\omega_-^\nu}{\sqrt{2}}, \\ \langle \mu_+(\vec{k}) | s^\nu | \mu_+(\vec{k}) \rangle &= -\frac{1}{4m_\mu} \bar{v}(k, -N) \gamma^\nu \gamma^5 v(k, -N) = -\frac{N^\nu}{2}, \end{aligned} \quad (8)$$

где

$$N_\nu = \frac{(1-x-\rho)k_\nu - 2\rho k'_\nu}{m_\mu(1-x-\rho)}, \quad (9)$$

среднее значение поперечной компоненты спина определяется выражением

$$\xi_{\text{EM}} = \frac{1}{\mathcal{N}^2} (\mathcal{M}'_{- -} \mathcal{M}''_{- +} - \mathcal{M}'_{- +} \mathcal{M}''_{- -} + \mathcal{M}'_{+ -} \mathcal{M}''_{+ +} - \mathcal{M}'_{+ +} \mathcal{M}''_{+ -}), \quad (10)$$

где \mathcal{N} — нормировочный множитель, $\mathcal{N}^2 = \sum_{i,j=\pm} |\mathcal{M}_{i,j}|^2$; $\mathcal{M}_{r,s} = \mathcal{M}'_{r,s} + i\mathcal{M}''_{r,s}$ ($r, s = \pm$) (для вывода этой формулы следует применить формулу (5) к рассеянию в инфинитезимальный элемент фазового объёма). Для вычисления спиральных амплитуд мы используем так называемый диагональный спиновый базис [7], [8] (см. Приложение), смысл введения которого состоит в том, что выражения для спиральных амплитуд записываются в релятивистско-ковариантном виде. Спиральную амплитуду $\mathcal{M}_{r,s}$ можно представить в виде

$$\mathcal{M}_{r,s} = \bar{u}(k') \mathcal{M}_\alpha(k, k', q) \epsilon_\alpha(r) v(k, sN) = Tr \mathcal{M}_\alpha(k, k', q) \epsilon_\alpha(r) v(k, sN) \bar{u}(k'), \quad (11)$$

причём выражение для $\mathcal{M}_\alpha(k, k', q)$ даётся диаграммами Фейнмана, а выражения для $\epsilon_\alpha(r)$ и $v(k, sN)\bar{u}(k')$ приводятся в Приложении.

Вещественные части амплитуд описываются древесными диаграммами на рис. 1; вычисление мнимых частей рассмотрено в следующем разделе.

¹⁾Здесь m_μ — масса мюона.

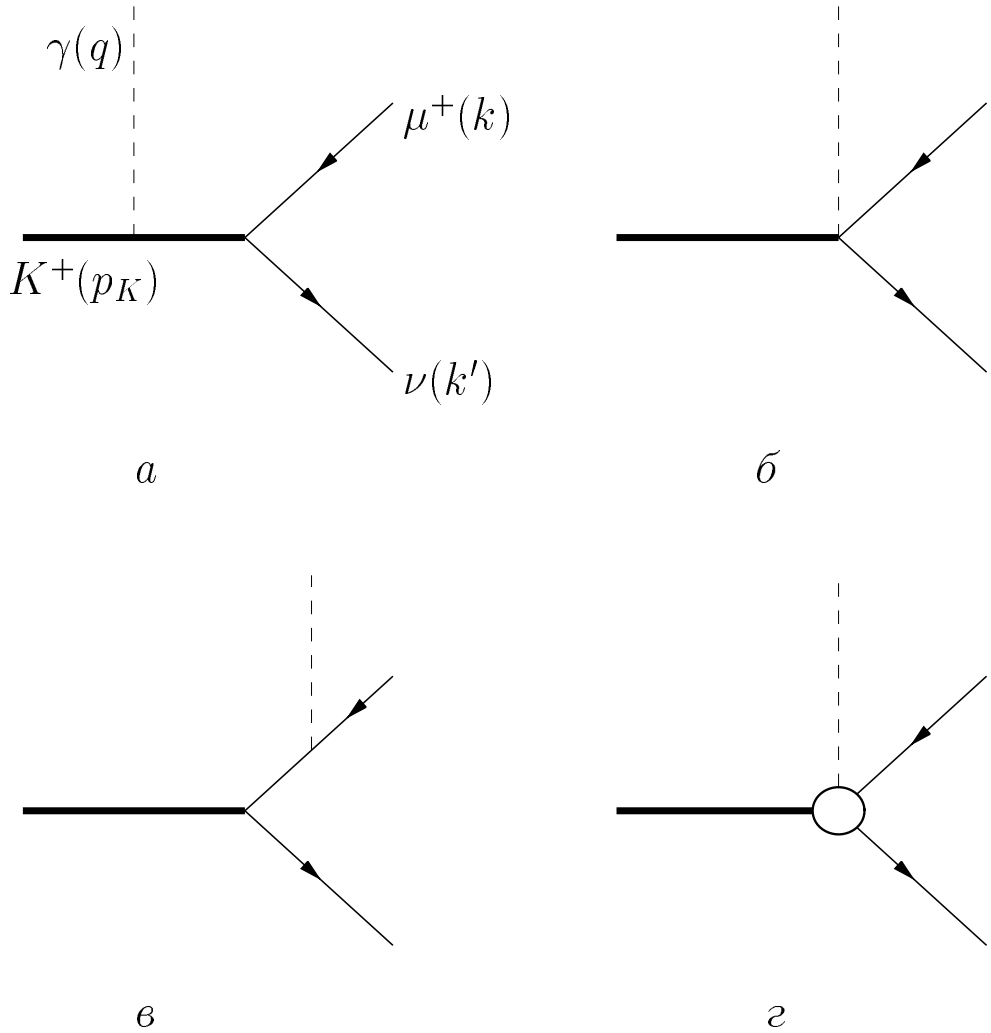


Рис. 1. Древесные диаграммы, дающие вклад в амплитуду распада $K \rightarrow \mu\nu\gamma$: a и c — тормозное излучение, b — контактный член, d — структурно-зависимое излучение.

Сpirальные амплитуды для распада $K^+ \rightarrow \mu^+\nu\gamma$ в древесном приближении имеют вид (первый индекс в левой части формул обозначает спиральность фотона, второй — спиральность электрона в системе центра масс лептонной пары):

$$\begin{aligned}
 \mathcal{M}_{--} &= iG_F e V_{us}^* m_\mu \frac{x}{2} \sqrt{\frac{\lambda\zeta}{1-x-\rho}} \left(\frac{\sqrt{2}F(1-\rho)}{x^2(1-\lambda)} - M_K \frac{F_V - F_A}{2} \right), \\
 \mathcal{M}_{-+} &= -iG_F e V_{us}^* \frac{x\lambda}{2\sqrt{1-x-\rho}} \left(m_\mu F \frac{\sqrt{2}\rho}{x(1-\lambda)} - \frac{F_V - F_A}{2} M_K^2 (1-x) \right), \\
 \mathcal{M}_{+-} &= iG_F e V_{us}^* m_\mu \frac{x}{2} \sqrt{\frac{\lambda\zeta}{1-x-\rho}} \left(F \frac{\sqrt{2}(1-x-\rho)}{x^2(1-\lambda)} + \frac{F_V + F_A}{2} M_K \right), \\
 \mathcal{M}_{++} &= iG_F e V_{us}^* \frac{x}{2\sqrt{1-x-\rho}} \frac{F_V + F_A}{2} M_K^2 \zeta.
 \end{aligned} \tag{12}$$

Дифференциальная вероятность распада имеет вид:

$$\sum_{polariz.} |\mathcal{M}|^2 = |G_F e V_{us}^*|^2 \left(m_\mu^2 F^2 IB + \frac{(F_V + F_A)^2}{2M_K^2} SD_+ + \frac{(F_V - F_A)^2}{2M_K^2} SD_- + m_\mu F \frac{F_V + F_A}{\sqrt{2}M_K} INT_+ + m_\mu F \frac{F_V - F_A}{\sqrt{2}M_K} INT_- \right), \quad (13)$$

где

$$\begin{aligned} IB &= \frac{8\lambda}{x^2(1-\lambda)} \left(x^2 + 2(1-x)(1-\rho) - \frac{2\rho(1-\rho)}{1-\lambda} \right), \\ SD_+ &= 2M_K^6 x^2 (1-\lambda) \zeta, \\ SD_- &= 2M_K^6 x^2 \lambda ((1-x)\lambda + \rho), \\ INT_+ &= \frac{8M_K^2 m_\mu \lambda}{1-\lambda} \zeta, \\ INT_- &= -\frac{8M_K^2 m_\mu \lambda}{1-\lambda} (1-\lambda + \lambda x - \rho). \end{aligned} \quad (14)$$

2. Вычисление мнимой части спиральных амплитуд

Мнимая часть амплитуды распада $K \rightarrow \mu\nu\gamma$ в ведущем порядке теории возмущений описывается диаграммами, изображёнными на рис. 2. Мы учитываем диаграммы 2ж и 2з, опущенные авторами работы [1] несмотря на то, что они имеют тот же порядок величины.

Заменяя пропагаторы на δ -функции по правилам Куткского [9] и производя интегрирование по промежуточным состояниям, получаем выражение для мнимой части амплитуды распада:

$$\mathcal{M} = \bar{u}(k') (1 + \gamma^5) \left(\mathcal{M}_\alpha^{IB} + \mathcal{M}_\alpha^{SD} + \mathcal{M}_\alpha^{(i)} \right) v_\mu(k) \epsilon^\alpha, \quad (15)$$

где

$$\begin{aligned} \mathcal{M}_\alpha^{IB} &= 2\alpha F \left(-c_1 m_\mu (x(1-\lambda)k'_\alpha - x\lambda k_\alpha) + \right. \\ &\quad \left. + c_2 \left(\hat{q}k_\alpha - \frac{M_K^2}{2} x(1-\lambda)\hat{\alpha} \right) + c_3 \left(\hat{q}k'_\alpha - \frac{M_K^2}{2} x\lambda\hat{\alpha} \right) + c_4 m_\mu \hat{q}\hat{\alpha} \right) \end{aligned} \quad (16)$$

— вклад диаграмм 2a, 2б, 2в, 2г, 2ж, 2з;

$$\begin{aligned} \mathcal{M}_\alpha^{SD} &= \alpha \frac{\sqrt{2}}{F} M_K \left(m_\mu (-F_A c_1^A + F_V c_1^V) (x(1-\lambda)k'_\alpha - x\lambda k_\alpha) + (-F_A c_2^A + F_V c_2^V) \times \right. \\ &\quad \left. \times \left(\hat{q}k_\alpha - \frac{M_K^2}{2} x(1-\lambda)\hat{\alpha} \right) + (-F_A c_3^A + F_V c_3^V) \left(\hat{q}k'_\alpha - \frac{M_K^2}{2} x\lambda\hat{\alpha} \right) + m_\mu (-F_A c_4^A + F_V c_4^V) \hat{q}\hat{\alpha} \right) \end{aligned} \quad (17)$$

— вклад диаграмм 2д и 2е и

$$\mathcal{M}_\alpha^{(i)} = \alpha \frac{1}{2\pi F} \left(c_2^{(i)} \left(\hat{q}k_\alpha - \frac{M_K^2}{2} x(1-\lambda)\hat{\alpha} \right) + c_4^{(i)} m_\mu \hat{q}\hat{\alpha} \right) \quad (18)$$

— вклад диаграммы 2u. Коэффициенты в этих выражениях и вспомогательные функции определяются формулами:

$$\begin{aligned}
c_1 &= \frac{4}{(1-\lambda)x}(G_3 - (1+\tau)G_2 + \rho(F_1 - F_2)), \\
c_2 &= \frac{4\rho}{(1-\lambda)x}(2G_1 + (1+\tau)G_2 - (1-\tau)G_3 - (\tau+\rho)F_1) + 2F_5\rho, \\
c_3 &= 4\rho(-F_2 - G_4), \\
c_4 &= \frac{2\lambda}{(1-\lambda)}(G_3 - G_2 - \rho F_2) - 2(G_2 + 2G_1 - F_1) + \\
&\quad + \frac{4-x(1-\lambda)}{(1-\lambda)x}(2G_1 + G_2 - (1-\tau)G_3 - \rho F_3) + \frac{2}{(1-\lambda)}(-\tau F_1 + \rho F_3) - F_4 + F_5\rho,
\end{aligned} \tag{19}$$

$$\begin{aligned}
c_1^V &= \left(\frac{1}{3}x(1-\lambda) - 2\tau\right)F_5 + (\tau + \rho)F_6, \\
c_2^V &= \frac{1}{3}(\tau(1+5\tau-14\rho) - \rho(1-3\rho+x\lambda))F_5 + \rho(\lambda x + 2\rho)F_6 + (1-\tau)F_7 - \frac{(1+\lambda)}{(1-\lambda)}F_8, \\
c_3^V &= -x(1-\lambda)(\tau + \frac{\rho}{3})F_5 - \tau F_7 + F_8, \\
c_4^V &= \frac{1}{2}(x(x(1-\lambda)^2 + \tau(3-2\lambda))F_5 + x(1-x-\lambda + \lambda x + \rho(3\lambda-4))F_6 + (1-\tau)F_7), \\
c_1^A &= c_1^V, \\
c_2^A &= c_2^V + 2\left(-\left(\frac{5x^2(1-\lambda)^2}{3} - \rho^2\right)F_5 + \rho(x-x\lambda-\rho)F_6 + \tau F_7\right), \\
c_3^A &= c_3^V, \\
c_4^A &= c_4^V + \frac{1}{2}(-x(1-\lambda)(\tau + 2x(1-\lambda))F_5 + 4\rho x(1-\lambda)F_6 + 3\tau F_7),
\end{aligned} \tag{20}$$

$$c_2^{(i)} = \frac{1}{4x^2(1-\lambda)^2} \left(\frac{2\kappa^2\rho}{x(1-\lambda)} S_4 + ((x^2(1-\lambda)^2 - \rho\kappa)\left(\frac{x(1-\lambda)}{\tau} + 2\right) + x^2(1-\lambda)^2)\frac{S}{\tau} \right), \tag{21}$$

$$c_4^{(i)} = \frac{1}{4x^2(1-\lambda)^2} \left(\frac{\kappa^2(2\tau+\rho)}{x(1-\lambda)} S_4 + ((x^2(1-\lambda)^2 - \rho\kappa)\left(\frac{x(1-\lambda)}{\tau} + 3\right) - 3\kappa(x(1-\lambda) + \tau))\frac{S}{2\tau} \right),$$

$$\begin{aligned}
G_2 &= \frac{1}{\zeta}(-\lambda\rho F_3 + 2\lambda G_1 - (1-\tau)F_0), \\
G_3 &= \frac{1}{\zeta}(-\rho F_3 + 2G_1 - F_0), \\
G_4 &= \frac{1}{\lambda x}(-2G_1 + \tau(G_2 - F_1) + \rho(F_3 - F_1)), \\
G_1 &= \frac{1}{8M_K^2\lambda x\zeta} \left(\frac{2\lambda}{(1-\tau)}(\rho - \tau^2)S_1 + \right. \\
&\quad \left. + \frac{1-\lambda}{1-\tau}(1-2\rho-x-\tau x+\tau^2)S_2 + (1-\lambda)\sqrt{R}(S_2 + S_3) \right),
\end{aligned} \tag{22}$$

$$\begin{aligned}
F_0 &= \frac{1}{2M_K^2(1-\tau)x} \left(1 - \frac{\rho}{\tau} + \frac{1-\rho}{1-\tau}(S_1 + S_2) \right), \\
F_1 &= \frac{1}{4M_K^2x\zeta} \left(-2S_1 - S_2 + \frac{1-\lambda x + \rho}{\sqrt{R}}(S_2 + S_3) - \frac{2\rho}{(1-\lambda)\sqrt{R}}(S_2 + S_3) \right), \\
F_2 &= \frac{1}{4M_K^2\lambda x\zeta} \left(\frac{2\lambda}{1-\tau}S_1 - \frac{\zeta-\lambda}{1-\tau}S_2 - \frac{\zeta-\lambda+x}{\sqrt{R}}(S_2 + S_3) \right), \\
F_3 &= \frac{1}{2M_K^2(1-\lambda)x\sqrt{R}}(S_2 + S_3), \\
F_4 &= \frac{1}{M_K^2(1-\lambda)^2x^2}((1-\lambda)x - \rho S_1), \\
F_5 &= \frac{1}{2M_K^2\tau^2}, \\
F_6 &= \frac{1}{M_K^2x(1-\lambda)} \left(\frac{S_1}{x(1-\lambda)} - \frac{1}{\tau} \right), \\
F_7 &= \frac{-x(1-\lambda)}{6M_K^2\tau^3}(x - x\lambda + 3\rho), \\
F_8 &= \frac{\rho}{M_K^2x(1-\lambda)} \left(\frac{x - x\lambda + 2\rho}{x(1-\lambda)} S_1 - 2 \right),
\end{aligned} \tag{23}$$

$$\begin{aligned}
S_1 &= \ln \left[1 + \frac{(1-\lambda)x}{\rho} \right], \\
S_2 &= \ln[\rho], \\
S_3 &= \ln \left[\frac{1 + \lambda x - 2\lambda - \rho - \sqrt{R}}{(1-\lambda)(1-\lambda x)^2 - \rho(1 + \lambda x - 2\lambda^2 x) - \rho^2\lambda - ((1-\lambda)(1-\lambda x) - \rho\lambda)\sqrt{R}} \right], \\
S_4 &= \ln \left[\frac{(1-\lambda)x(\kappa - (1-\lambda)x + S) + 2\kappa\rho}{(1-\lambda)x(\kappa - (1-\lambda)x - S) + 2\kappa\rho} \right],
\end{aligned} \tag{24}$$

$$\begin{aligned}
R &= (1 - \lambda x + \rho)^2 - 4\rho, \\
S &= \sqrt{((1 - \lambda)x - \kappa)^2 - 4\kappa\rho}, \\
\kappa &= \frac{M_\pi^2}{M_K^2},
\end{aligned} \tag{25}$$

где $M_\pi = 135$ МэВ — масса π^0 -мезона. Вычисления производились при помощи программы аналитических вычислений REDUCE. На основе выражений (15)-(25) мнимые части спиральных амплитуд и поперечная поляризация мюона вычисляются по формулам (10) и (11).

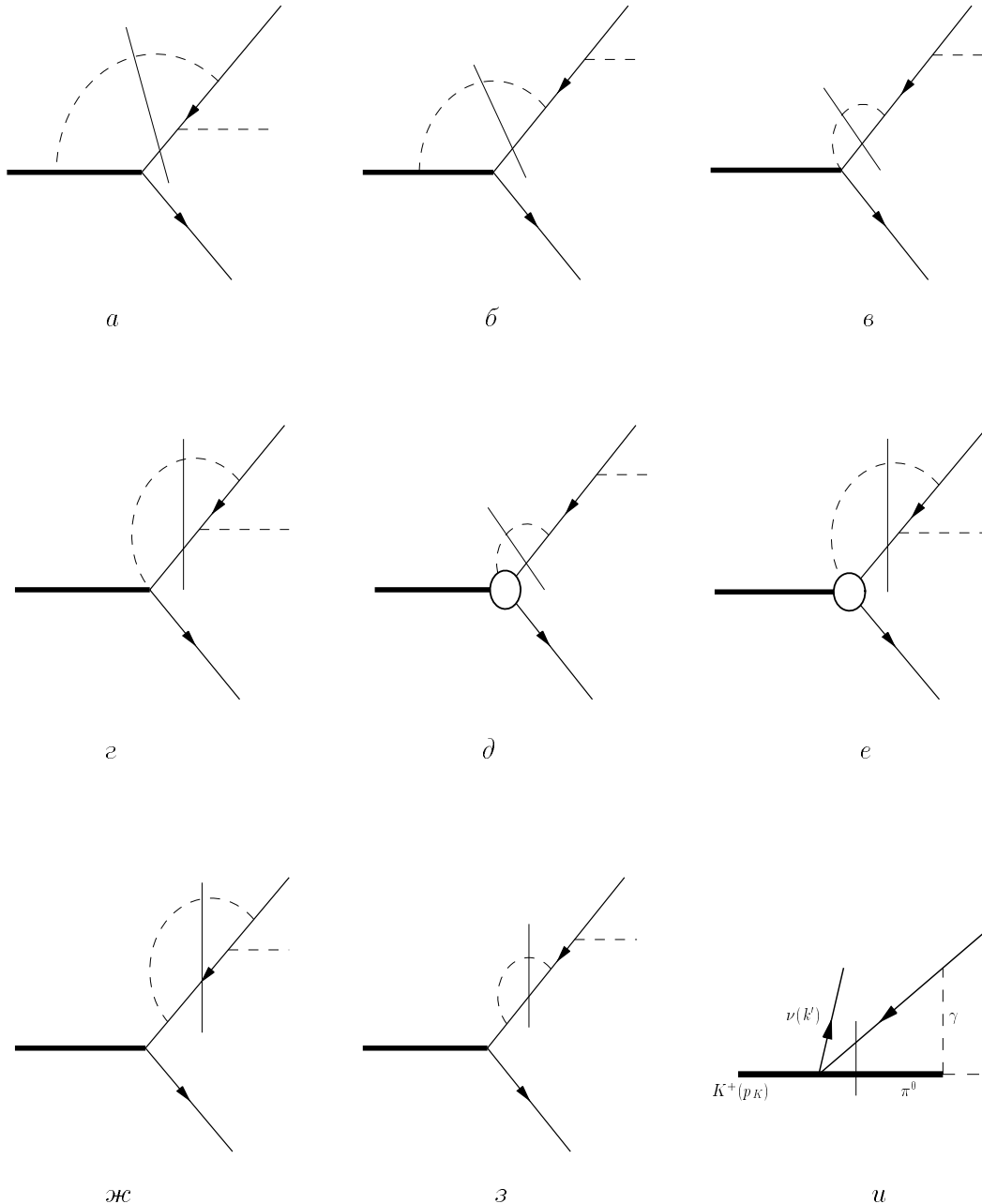


Рис. 2. Однопетлевые диаграммы, дающие вклад в мнимую часть амплитуды распада $K \rightarrow \mu\nu\gamma$. Диаграммы δ и e описывают вклад структурно-зависимого излучения.

3. Обсуждение результатов

Поперечная поляризация мюона в распаде $K \rightarrow \mu\nu\gamma$ как функция кинематических переменных x и y показана на рис. 3, как функция переменных x и λ — на рис. 4. Видно, что полученное значение поперечной поляризации мюона примерно на полтора

порядка меньше приведённого в работе [1]²⁾ (см. рис. 4 в работе [1]). В отличие от результатов, полученных в упомянутой работе, поперечная поляризация мюона имеет постоянный знак во всей области кинематических переменных и обращается в нуль на границе фазового объёма. При построении графиков были использованы предсказанные в рамках КТВ значения параметров F_V и F_A (те же самые, что и в работе [1]): $F_A = 0.042$ и $F_V = 0.095$ (рис. 3б и 4); была также исследована зависимость ξ_{EM} от параметра F_A , известного с большой ошибкой $F_A = 0.042 \pm 0.030$ (рис. 3а и 3б). Видно, что зависимость ξ_{EM} от параметра F_A в разумном интервале его изменения достаточно слабая.

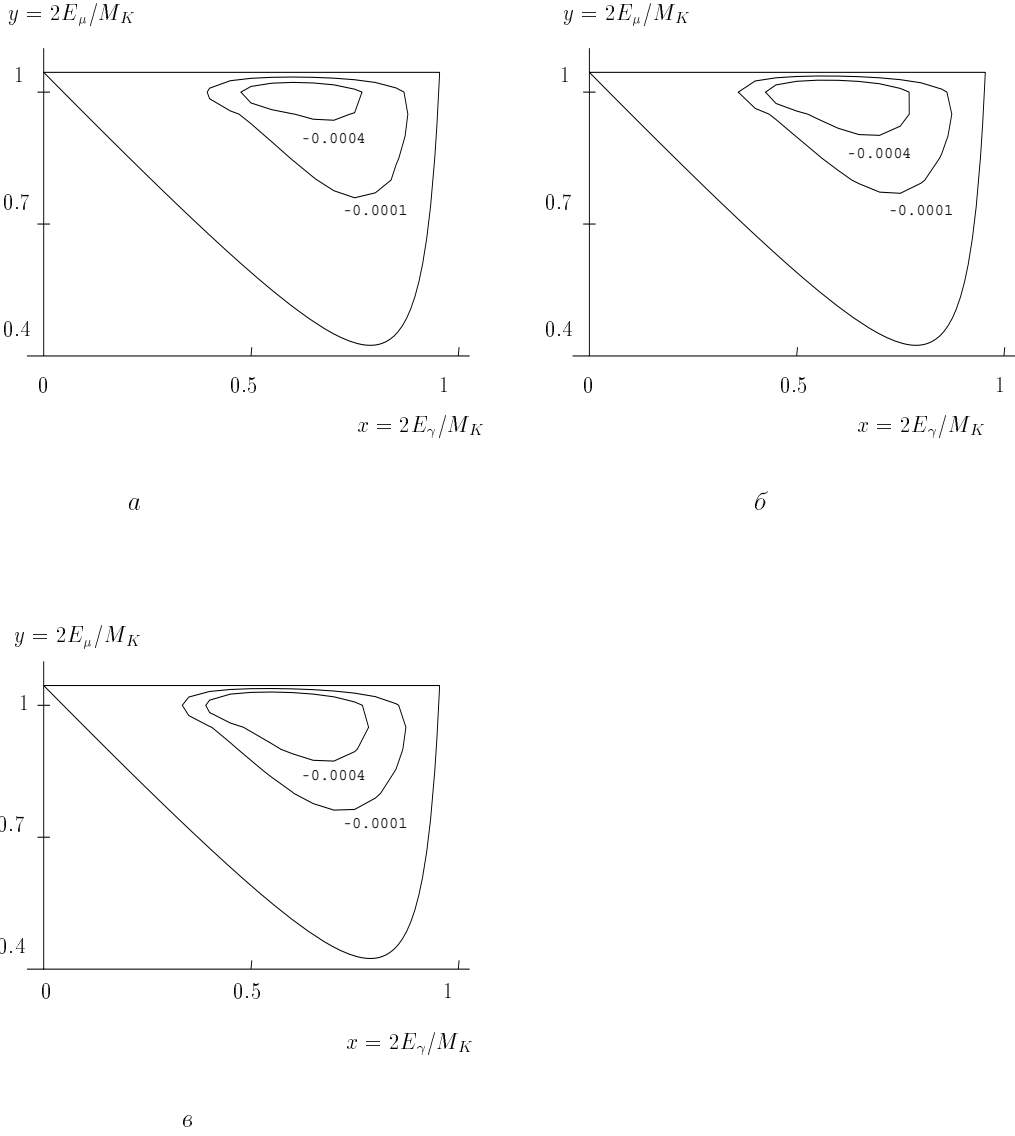


Рис. 3. Диаграмма Далитца для поперечной поляризации мюона ξ_{EM} в распаде $K \rightarrow \mu\nu\gamma$. Показана зависимость от параметра $\gamma = F_A/F_V$: (а) $\gamma = 0.12$, (б) $\gamma = 0.44$, (в) $\gamma = 0.76$. На границе диаграммы Далитца $\xi_{\text{EM}} = 0$.

²⁾К сожалению, в работе [1] результаты вычисления мнимой части диаграмм на рис. 2 не представлены в аналитическом виде, что затрудняет более детальное сравнение результатов вычислений.

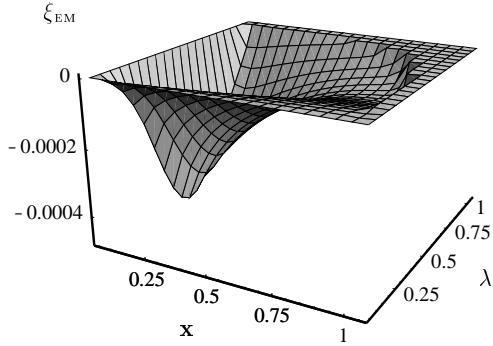


Рис. 4. Поперечная поляризация мюона ξ_{EM} как функция x и λ .

представляется явный вид выражения билинейной комбинации дираковских спиноров через тензоры для общего случая. Билинейные комбинации спиноров, используемые в данной работе, имеют вид:

$$\begin{aligned} v_\mu(k, -N)\bar{u}_\nu(k') &= \frac{(\hat{k} - m_\mu)\hat{k}'}{2M_K\sqrt{1-x-\rho}}(1 + \gamma^5), \\ v_\mu(k, N)\bar{u}_\nu(k') &= \frac{M_K^2(1-x-\rho) - m_\mu\hat{k}'\hat{\omega}_-}{2M_K\sqrt{1-x-\rho}}(1 - \gamma^5), \end{aligned} \quad (26)$$

где векторы $\omega_+(k, k')$ и $\omega_-(k, k')$ определены соотношениями:

$$\begin{aligned} \hat{\omega}_+(k, k') &= -\frac{\sqrt{2}}{2M_K^3 x \sqrt{\lambda\zeta}} \left(\hat{k}\hat{q}\hat{k}'(1 - \gamma^5) + \hat{k}'\hat{q}\hat{k}(1 + \gamma^5) - \frac{2\rho x \lambda}{1 - x - \rho} \hat{k}' \right), \\ \hat{\omega}_-(k, k') &= -\frac{\sqrt{2}}{2M_K^3 x \sqrt{\lambda\zeta}} \left(\hat{k}\hat{q}\hat{k}'(1 + \gamma^5) + \hat{k}'\hat{q}\hat{k}(1 - \gamma^5) - \frac{2\rho x \lambda}{1 - x - \rho} \hat{k}' \right). \end{aligned} \quad (27)$$

Векторы $\omega_+(k, k')$ и $\omega_-(k, k')$ обладают следующими свойствами:

$$\begin{aligned} \omega_+^2 = \omega_-^2 &= 0, (\omega_+\omega_-) = -1, \\ (\omega_+k') &= (\omega_+k) = (\omega_-k') = (\omega_-k) = 0, \\ ((1-x-\rho)\hat{k} - \rho\hat{k}')\hat{\omega}_- &(1 + \gamma^5) = 0, \\ \hat{k}'\hat{\omega}_+(1 + \gamma^5) &= 0, \\ ((1-x-\rho)\hat{k} - \rho\hat{k}')\hat{\omega}_+ &(1 - \gamma^5) = 0, \\ \hat{k}'\hat{\omega}_-(1 - \gamma^5) &= 0; \end{aligned} \quad (28)$$

эти свойства определяют векторы $\omega_+(k, k')$ и $\omega_-(k, k')$ с точностью до фазового множителя. Знаки γ^5 и $\varepsilon^{\mu\nu\alpha\beta}$ выбраны так, что

$$\epsilon^{0123} = -1, \quad \text{Tr } \gamma^5 \gamma^\mu \gamma^\alpha \gamma^\beta = 4i\varepsilon^{\mu\nu\alpha\beta}, \quad (29)$$

что отличается от соглашения, принятого в [8].

С точки зрения возможного эксперимента [10], извлечение T -нечётной поляризации мюона в этом распаде на уровне точности 10^{-3} , который необходим для проверки вышеупомянутых нестандартных моделей, вполне возможно, поскольку маскирующий T -чётный эффект имеет порядок $\langle \xi_{\text{EM}} \rangle < 10^{-4}$ и функция $\xi_{\text{EM}}(x, \lambda)$ известна в аналитическом виде.

Приложение

В данной работе для вычисления спиральных амплитуд применяется диагональный спиновый базис, предложенный в работах [7], где приво-

Векторы, описывающие поляризацию фотонов, имеют вид

$$\epsilon_\mu(\pm) = \frac{\sqrt{2}}{2M_K x \sqrt{\lambda\zeta}} \left(-x\lambda k_\mu + x(1-\lambda)k'_\mu - (1-\rho-x)q_\mu \mp i\varepsilon_{kk'q\mu} \right). \quad (30)$$

Список литературы

- [1] Ефросинин В.П., Куденко Ю.Г./*Ядерная Физика* **62**, 1054 (1999).
- [2] Barenboim G. *et al.*//*Phys. Rev.* **D55**, 4213 (1997).
- [3] Garisto R., Kane G./*Phys. Rev.* **D44**, 2038 (1991).
- [4] Belanger G., Geng C.Q./*Phys. Rev.* **D44**, 2789 (1991).
- [5] Gasser J., Leutwyler H./*Nucl. Phys.* **B 250**, 465 (1985); Pich A., hep-ph/9502366.
- [6] Poblaguev A.A./*Phys. Lett.* **B 286**, 169 (1992).
- [7] Богуш А.А. и др. *Труды XI Семинара по физике высоких энергий и теории поля*. М.: Наука, 1989; Рогалёв Р.Н./*ТМФ* **101**, 384 (1994); Rogalyov R.N./*Int. J. Mod. Phys. A* **11** (1996) 3711.
- [8] Borodulin V.I., Rogalyov R.N., Slabospitsky S.R., hep-ph/9507456.
- [9] Ициксон К., Зюбер Ж.-Б. *Квантовая теория поля*. М.: Мир, 1984.
- [10] Kudenko Yu.G. *Proc. Int. Workshop on JHF-Science* (JHF98), 1998. V.2. P.39.

Рукопись поступила 25 января 2001 г.

Р.Н. Рогалёв

Вклад электромагнитных взаимодействий в поперечную поляризацию мюона
в распаде $K \rightarrow \mu\nu\gamma$.

Оригинал-макет подготовлен с помощью системы L^AT_EX.

Редактор Л.Ф.Васильева.

Технический редактор Н.В.Орлова.

Подписано к печати 29.01.2001. Формат 60 × 84/8. Офсетная печать.
Печ.л. 1,37. Уч.-изд.л. 1,1. Тираж 130. Заказ 56. Индекс 3649.
ЛР №020498 17.04.97.

ГНЦ РФ Институт физики высоких энергий
142284, Протвино Московской обл.

Индекс 3649

П Р Е П Р И Н Т 2001-5, И Ф В Э, 2001
